

пряжением S , ортогональным плоскости $0x_1x_2$ на бесконечности. Требуется определить, каким степеням P и S пропорционален линейный размер a зазора, образующегося между полупространствами, при условии, что на границе полупространств полностью отсутствуют силы сцепления.

Из решения задачи Буссинеска [2] следует, что нормальные перемещения точки границы выражаются в виде

$$u_3^\pm = \frac{1 - v^\pm}{2\pi\mu^\pm} \frac{P}{r}, \quad \text{где } r = \sqrt{x_1^2 + x_2^2}.$$

Отсюда следует, что до приложения напряжения S расстояние между границами тел $f(x_1, x_2)$ задавалось положительной гладкой положительно-однородной функцией степени минус единица

$$f(x_1, x_2) = \left(\frac{1 - v^+}{2\pi\mu^+} + \frac{1 - v^-}{2\pi\mu^-} \right) \frac{P}{r}.$$

Тогда справедливы условия теоремы. Из (1.5) получаем, что радиус зазора между полупространствами пропорционален корню квадратному из P/S : $a \sim P^{1/2}S^{-1/2}$.

Этот результат совпадает с результатом теории трещин, полученным при рассмотрении дискообразной трещины, в центре которой приложены разрывающие сосредоточенные силы, а на бесконечности действует сжимающее напряжение. Записывая выражение коэффициента интенсивности напряжений для такой трещины и приравнивая его нулю, получаем уравнение на a . Методика решения этой задачи по теории трещин описана в [1].

Автор благодарит В. Д. Клюшикова и И. Д. Грудева, заинтересовавших его этой тематикой, а также А. Г. Хованского за обсуждение работы.

Поступила 8 II 1983

ЛИТЕРАТУРА

1. Седов Л. И. Механика сплошной среды. Т. 2. М.: Наука, 1976.
2. Работнов Ю. И. Механика деформируемого твердого тела. М.: Наука, 1979.
3. Бородич Ф. М. Подобие в задаче контакта упругих тел. — ПММ, 1983, т. 47, вып. 3.

УДК 539.375

СТАЦИОНАРНОЕ ДВИЖЕНИЕ СИСТЕМЫ ПАРАЛЛЕЛЬНЫХ ТРЕЩИН ПРОДОЛЬНОГО СДВИГА

В. Г. НОВИКОВ, Б. М. ТУЛИНОВ

(Москва)

Стационарное движение прямолинейной полубесконечной трещины в безграничном упругом теле рассматривалось в [1, 2]. Часто бывает, что в среде распространяется не одна трещина, а несколько. В связи с этим представляет интерес рассмотреть движение системы полубесконечных параллельных трещин. В данной работе ограничимся рассмотрением случая трещин продольного сдвига. Сходная в математическом отношении задача об установившемся движении трещины отрыва в полосе изучалась в [3, 4].

Рассмотрим движение системы полубесконечных параллельных трещин — разрезов продольного сдвига с постоянной скоростью. В движущейся вместе с трещинами системе координат xOy поверхности разрезов представляют собой систему параллельных полуправых $x, y \in S$, где

$$S = \{x < 0, y = d(2n + 1), n = 0, \pm 1, \pm 2, \dots\}.$$

Пусть скорость роста трещин V меньше скорости поперечных волн в среде c . Предполагается также, что движение трещин стационарно, т. е. в движущейся системе координат деформации и напряжения не зависят от времени. В этом случае уравнения теории упругости, описывающие задачу, имеют вид

$$(1) \quad \beta^2 \partial^2 w / \partial x^2 + \partial^2 w / \partial y^2 = 0, \quad \tau = \mu \partial w / \partial y,$$

где $\beta^2 = 1 - V^2/c^2$; w — смещение вдоль оси z ; $\tau = \sigma_{yz}$ — компонента тензора напряжений; μ — модуль сдвига. Пусть к берегам всех трещин приложена одна и та же однородная нагрузка:

$$\tau(x, y) = -\tau_0, \quad x, y \in S.$$

Тогда деформации и напряжения являются периодическими функциями координаты y с периодом $2d$ и задача сводится к построению решения уравнений (1) в области

$-d < y < d$, удовлетворяющего граничным условиям

$$(2) \quad \tau(x, \pm d) = -\tau_0, \quad x < 0;$$

$$(3) \quad w(x, \pm d) = 0, \quad x > 0.$$

Для решения поставленной задачи воспользуемся методом, предложенным в [5—7]. Временно заменим неоднородное граничное условие (2) условием вида

$$(4) \quad \tau(x, \pm d) = -\tau_0 e^{\alpha x}, \quad x < 0,$$

где α — положительное число, которое в конечных формулах следует положить равным нулю. Решение уравнений (1) представим в виде

$$(5) \quad w(x, y) = -\frac{1}{2\pi\mu\beta} \int_{-\infty}^{\infty} \frac{1}{q} \frac{\sinh(\beta qy)}{\cosh(\beta qd)} C(q) e^{-iqx} dq,$$

$$\tau(x, y) = -\frac{1}{2\pi} \int_{-\infty}^{\infty} \frac{\cosh(\beta qy)}{\cosh(\beta qd)} C(q) e^{-iqx} dq,$$

где $C(q)$ — неизвестная функция. Принимая во внимание, что

$$e^{\alpha x} = \frac{1}{2\pi i} \int_{-\infty}^{\infty} \frac{e^{-iqx}}{q - i\alpha} dq, \quad x < 0,$$

получаем для функции $C(q)$ из граничных условий (3), (4) парные интегральные уравнения

$$(6) \quad \int_{-\infty}^{\infty} K(\beta qd) C(q) e^{-iqx} dq = 0, \quad x > 0,$$

$$\int_{-\infty}^{\infty} \left\{ C(q) - \frac{1}{i} \frac{\tau_0}{q - i\alpha} \right\} e^{-iqx} dq = 0, \quad x < 0.$$

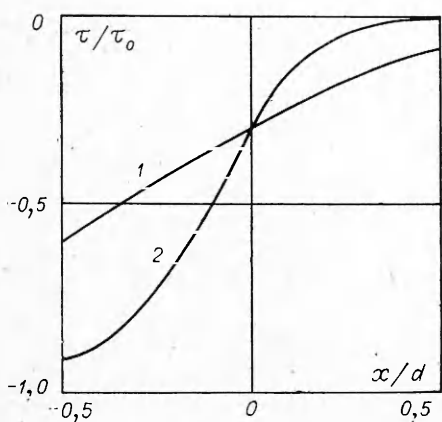
Здесь $K(z) = \pi \operatorname{th}(z)/z$. Представляя функцию $K(z)$ в виде $K(z) = K_+(z)K_-(z)$, где $K_+(z) = \Gamma(1/2 - iz/\pi)/\Gamma(1 - iz/\pi)$, $K_-(z) = K_+(-z)$, $\Gamma(z)$ — гамма-функция, и учитывая аналитические свойства функций $K_+(z)$ и $K_-(z)$, можно показать [5—7], что решение уравнений (6) имеет вид

$$C(q) = \frac{1}{i} \frac{\tau_0 K_+(i\beta\alpha d)}{(q - i\alpha) K_+(\beta qd)}.$$

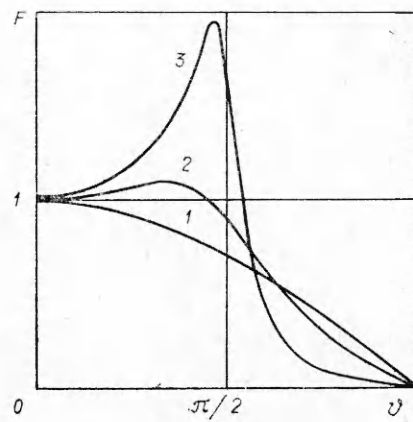
Подставляя найденное значение $C(q)$ в равенства (5), вычисляя интегралы и устремляя затем параметр α к нулю, получим решение исходной задачи. Опуская промежуточные выкладки, приводим конечный результат:

$$(7) \quad \frac{w(x, y)}{w_0} = \frac{2}{\pi} \operatorname{Im} \left\{ -z + \ln \left(e^z + \sqrt{1 + e^{2z}} \right) \right\},$$

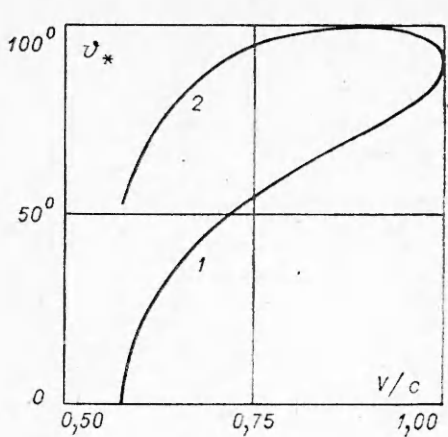
$$\frac{\tau(x, y)}{\tau_0} = \operatorname{Re} \left\{ -1 + \frac{e^z}{\sqrt{1 + e^{2z}}} \right\},$$



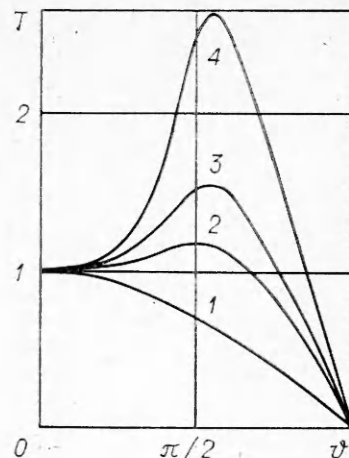
Фиг. 1



Фиг. 2



Фиг. 3



Фиг. 4

где $w_0 = dt_0/\mu$; $z = \pi(x/\beta + iy)/2d$. Непосредственной проверкой можно убедиться, что решение в виде (7) удовлетворяет уравнениям (1) и граничным условиям (2), (3). Распределение напряжений τ/t_0 на оси $y = 0$ представлено на фиг. 1. Кривые 1 и 2 соответствуют значениям скорости фронта трещины $V = 0$ и $0.95 c$.

Исследуем поведение решения вблизи вершины отдельной трещины. Введем полярную систему координат r, θ с началом в вершине трещины и вспомогательные переменные ρ, φ , связанные с углом θ соотношением

$$\rho e^{i\varphi} = \cos(\theta) + i\beta \sin(\theta), \quad -\pi < \theta < \pi,$$

причем берегам трещины соответствуют значения $\theta = \pm\pi$.

Из формул (7) следует, что вблизи вершины трещины справедливы асимптотические соотношения [8]

$$w(r, \theta) = \frac{K}{\mu} \sqrt{\frac{2r}{\beta}} \sin\left(\frac{\varphi}{2}\right), \quad \tau(r, \theta) = \frac{K}{\sqrt{2r}} F(\theta),$$

где $F(\theta) = \cos(\varphi/2)/\sqrt{\rho}$, а для коэффициента интенсивности напряжений получается выражение

$$(8) \quad K = \tau_0 \sqrt{\frac{2d}{\pi}} \left(1 - \frac{V^2}{c^2}\right)^{1/4}.$$

На фиг. 2 приведены графики функции $F(\theta)$. Кривые 1–3 соответствуют значениям $V = 0; 0,8 c$ и $0,985 c$. При $V < c/\sqrt{3}$ напряжение τ как функция θ имеет максимум непосредственно на продолжении трещины при $\theta = 0$. При $V > c/\sqrt{3}$ τ имеет два симметричных максимума при $\theta = \pm\theta_*$, где θ_* — решение уравнения

$$\frac{V^2}{c^2} = \frac{\sqrt{1+8\cos^2\theta_*} - 1 - 2\cos^2\theta_*}{2\sin^2\theta_* \cos^2\theta_*}.$$

Зависимость θ_* от параметра V/c приведена на фиг. 3 (кривая 1). С изменением V/c от $1/\sqrt{3}$ до 1 значение θ_* меняется от нуля до 90° .

Аналогичным образом для компоненты тензора напряжений $\sigma_{\theta z}$ вблизи вершины трещины имеем асимптотическое выражение [9]

$$\sigma_{\theta z} = \frac{K}{\sqrt{2r}} T(\theta),$$

где

$$(9) \quad T(\theta) = \frac{1}{\rho \sqrt{2}} \left\{ \sqrt{\frac{\rho - \cos\theta}{\beta}} \sin\theta + \sqrt{\frac{\rho + \cos\theta}{\beta}} \cos\theta \right\}.$$

Зависимость (9) приведена на фиг. 4. Кривым 1–4 отвечают значения $V = 0; 0,7c; 0,8c; 0,9c$. Как и для напряжений σ_{yz} , при $V < c/\sqrt{3}$ напряжения $\sigma_{\theta z}$ имеют максимум в угловом распределении при $\theta = 0$. При $V > c/\sqrt{3}$ максимум наблюдается при

значениях $\theta = \pm\theta_*$, где θ_* определяется следующим образом:

$$(10) \quad \cos^2 \theta_* = \frac{5}{3} - \frac{c^2}{V^2} - \frac{2}{3} \sqrt{1 + 12 \frac{c^2}{V^2} \cos \left(\frac{\gamma + \pi}{3} \right)},$$

где $\cos \gamma = -\frac{1 - 90c^2/V^2 + 54c^4/V^4}{(1 + 12c^2/V^2)^{3/2}}$.

Зависимость θ_* от параметра V/c , определяемая соотношением (10), приведена на фиг. 3 (кривая 2). При изменении отношения V/c от $1/\sqrt{3}$ до $1/\sqrt{2}$ θ_* изменяется от $52^\circ 24'$ до 90° . В области $1/\sqrt{2} < V/c < 1$ значения θ_* лежат в области $\theta_* > 90^\circ$, и при $V/c = 1$ имеем $\theta_* = 90^\circ$.

Вычислим скорость освобождения энергии G для отдельной трещины. Известно [9], что скорость освобождения энергии для трещины продольного сдвига связана с коэффициентом интенсивности напряжений соотношением

$$G = \frac{\pi}{2\mu} \frac{K^2}{\sqrt{1 - V^2/c^2}}.$$

Подставляя из (8) значение коэффициента интенсивности напряжений, получим $G = \tau_0^2 d / \mu$, т. е. в данной задаче скорость освобождения энергии не зависит явным образом от скорости роста трещин.

Поступила 7 VII 1982

ЛИТЕРАТУРА

1. Craggs J. W. On the propagation of a crack in an elastic-brittle material.— J. Mech. Phys. Solids, 1960, vol. 8, N 1.
2. Jahashahi A. A diffraction problem and crack propagation.— Trans. ASME. Ser. E. J. Appl. Mech., 1967, vol. 34, N 3.
3. Гольдштейн Р. В., Матчинский М. О стационарном движении трещины в полосе.— Инж. журн. МТТ, 1967, № 4.
4. Кулиев В. Д. Стационарное движение трещины в полосе.— ПММ, 1973, т. 37, вып. 3.
5. Лебедев Н. Н., Скальская И. П. Осесимметрическая электростатическая задача для проводника, имеющего форму полубесконечной трубы с тонкими стенками.— ЖТФ, 1958, т. 28, № 4.
6. Лебедев Н. Н. Электростатическое поле у края плоского конденсатора с диэлектрической прокладкой.— ЖТФ, 1958, т. 28, № 6.
7. Лебедев Н. Н., Скальская И. П. Электростатическое поле электронной линзы, состоящей из двух коаксиальных цилиндров.— ЖТФ, 1960, т. 30, № 5.
8. Freund L. B. The mechanics of dynamic shear crack propagation.— J. Geophys. Res., ser. B, 1979, vol. 84, N 5.
9. Ахенбах Дж. Д. Распространение волн, сингулярные эластодинамические напряжения и разрушение.— В кн.: Теоретическая и прикладная механика. М.: Мир, 1979.